

# Aminolyse von 2,5-Bis(aryloxy)-3,3a $\lambda^4$ ,4-trithia-1,6-diazapentalenen – ein Zugang zu makrocyclischen Heteropentalenen

Franz Tittelbach, Gerhard Lutze und Heinz Graubaum\*

Institut für Angewandte Chemie,  
Rudower Chaussee 5, D-12484 Berlin-Adlershof, Germany

Eingegangen am 22. April 1994

**Key Words:** Macrocycles / Azacrown ethers / Pentalenes, 2,5-diamino-3,3a $\lambda^4$ ,4-trithia-1,6-diaza-

## Aminolysis of 2,5-Bis(aryloxy)-3,3a $\lambda^4$ ,4-trithia-1,6-diazapentalenes – an Entry to Macrocyclic Heteropentalenes

The *N,N'*-bis(3,3a $\lambda^4$ ,4-trithia-1,6-diazapentalenyl)diamines **6**, **7** and azacrown ethers **8**, incorporating two sulfur-containing diazapentalenes, have been synthesized from 2,5-bis(aryloxy)-3,3a $\lambda^4$ ,4-trithia-1,6-diazapentalenes **1** and diamines.

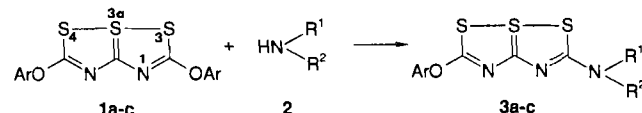
The aminolysis of **1** with amines has also been studied providing 2-monoamino- **3** and 2,5-diaminoheteropentalenes **4**.

1,6,6a $\lambda^4$ -Thiapiptalene haben sich aufgrund des besonderen Bindungscharakters zu einer Substanzklasse mit beträchtlichem theoretischen und synthetischen Interesse entwickelt<sup>[1–3]</sup>. Auch die heteroanalogen 3,3a $\lambda^4$ ,4-Trithia-1,6-diazapentalene **1** sind delokalisierte 10- $\pi$ -Elektronensysteme, die durch „single bond/no bond resonance“ charakterisiert werden können. Die von uns dargestellten 2,5-Bis(aryloxy)-3,3a $\lambda^4$ ,4-trithia-1,6-diazapentalene **1a–c**<sup>[4]</sup> bieten sich aufgrund ihrer Struktur und Reaktivität zur Reaktion mit Nucleophilen an. Über die Hydrazinolysen<sup>[5]</sup> oder Umsetzung mit CH-aciden Verbindungen<sup>[6]</sup> entstehen substituierte Thiapentalene, 1,2,4-Dithiazol- und 1,3,5-Thiadiazinderivate.

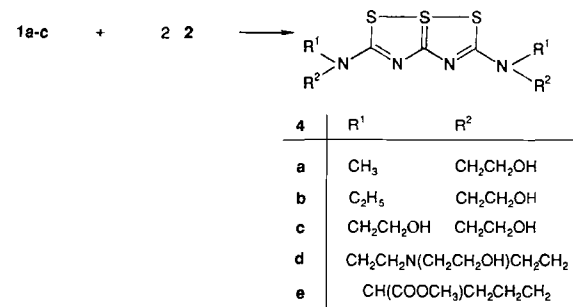
Ziel der vorliegenden Arbeit ist die Untersuchung der Reaktion von **1a–c** mit Aminen. Dabei sollte geklärt werden, ob die Aminolyse Veränderungen am Thiapentalen bewirkt. Außerdem sollte durch Einsatz von Diaminen versucht werden, mehrere Thiapentalene zu verbrücken, um sie letztlich in Makrocyclen einzubauen. Redoxprozesse sollten reversible Strukturveränderungen der Makrocyclen ermöglichen, die Einfluß auf das Komplexierungsverhalten haben könnten.

In Gegenwart primärer aliphatischer Amine reagieren **1a–c** unübersichtlich. Der dabei nachgewiesene Schwefelwasserstoff deutet auf Zersetzung des Thiapentalens hin. Primäre aromatische und sekundäre aliphatische Amine reagieren mit **1** zunächst zu Monosubstitutionsprodukten **3**, in denen die Austauschbarkeit der verbleibenden Aryloxygruppe deutlich verringert ist, so daß die Verbindungen **3** bei der Umsetzung der Komponenten im Molverhältnis 1:1 das Hauptreaktionsprodukt sind. Bei Überschuß an primärem aromatischen Amin oder sekundärem aliphatischem Amin und längeren Reaktionszeiten entstehen bevorzugt Disubstitutionsprodukte **4**.

Charakteristische  $^{13}\text{C}$ -NMR-Werte für 2-Amino-5-aryloxy-pentalene **3** sind Signale bei  $\delta \approx 182$  (C-2),  $\approx 188$  (C-6a)



1	Ar	3	Ar	R <sup>1</sup>	R <sup>2</sup>
a	C <sub>6</sub> H <sub>5</sub>	a	4-CH <sub>3</sub> -O-C <sub>6</sub> H <sub>4</sub>	CH <sub>2</sub> CH=CH <sub>2</sub> CH <sub>2</sub> CH=CH <sub>2</sub>	
b	4-CH <sub>3</sub> -C <sub>6</sub> H <sub>4</sub>	b	C <sub>6</sub> H <sub>5</sub>	H	4-NH <sub>2</sub> -C <sub>6</sub> H <sub>4</sub>
c	4-CH <sub>3</sub> -O-C <sub>6</sub> H <sub>4</sub>	c	C <sub>6</sub> H <sub>5</sub>	CH <sub>2</sub> CH <sub>3</sub>	CH <sub>2</sub> CH <sub>2</sub> OH



4	R <sup>1</sup>	R <sup>2</sup>
a	CH <sub>3</sub>	CH <sub>2</sub> CH <sub>2</sub> OH
b	C <sub>6</sub> H <sub>5</sub>	CH <sub>2</sub> CH <sub>2</sub> OH
c	CH <sub>2</sub> CH <sub>2</sub> OH	CH <sub>2</sub> CH <sub>2</sub> OH
d	CH <sub>2</sub> CH <sub>2</sub> N(CH <sub>2</sub> CH <sub>2</sub> OH)CH <sub>2</sub> CH <sub>2</sub>	
e	CH(COOCH <sub>3</sub> )CH <sub>2</sub> CH <sub>2</sub> CH <sub>2</sub>	

und  $\approx 196$  (C-5). 2,5-Diaminopentalene **4** ergeben entsprechend Signale um 181 (C-2,5) und 185 (C-6a).

Einige Verbindungen zeigen bei Raumtemperatur deutliche Signalaufspaltungen, die wir auf das Vorliegen von mehreren Konformeren zurückführen. Valenzisomerie ist für die Signalaufspaltung unseres Erachtens nicht die Ursache, da wir dieses Phänomen bei der Verbindung **1** nicht beobachtet haben. Andererseits ist bekannt, daß Thioamide mesomeriebedingte Rotationsbarrieren der C–N-Bindung aufweisen.

Abb. 1 zeigt Ausschnitte aus den  $^{13}\text{C}$ -NMR-Spektren der Bis[N-(hydroxyethyl)-N-methyl]-Verbindung **4a** bei 20 und

65°C in  $[D_6]DMSO$ . Bei Raumtemperatur findet man für C-6a drei Signale bei  $\delta = 184.8, 184.7, 184.6$  und für C-2 und C-5 Signale bei 181.89, 181.44 und 181.36. Bei Erwärmen auf 65°C verschmelzen die Signale, und man findet für das Atom C-6a ein Einzelsignal bei  $\delta = 184.9$  und für C-2 und C-5 ein Einzelsignal bei 182.4. Signale von 58.3 und 57.5 werden zu einem Signal bei 58.4 ( $OCH_2$ ), entsprechend 56.1 und 53.9 zu 54.3 ( $NCH_2$ ), sowie 40.5 und 40.4 zu 40.5 ( $NCH_3$ ).

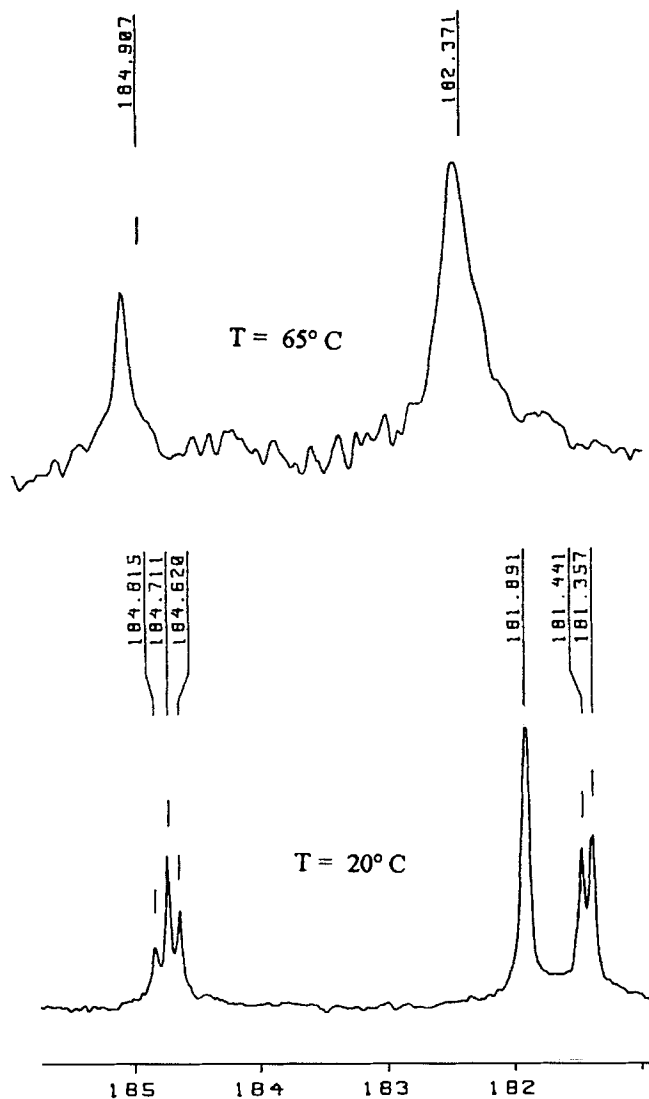
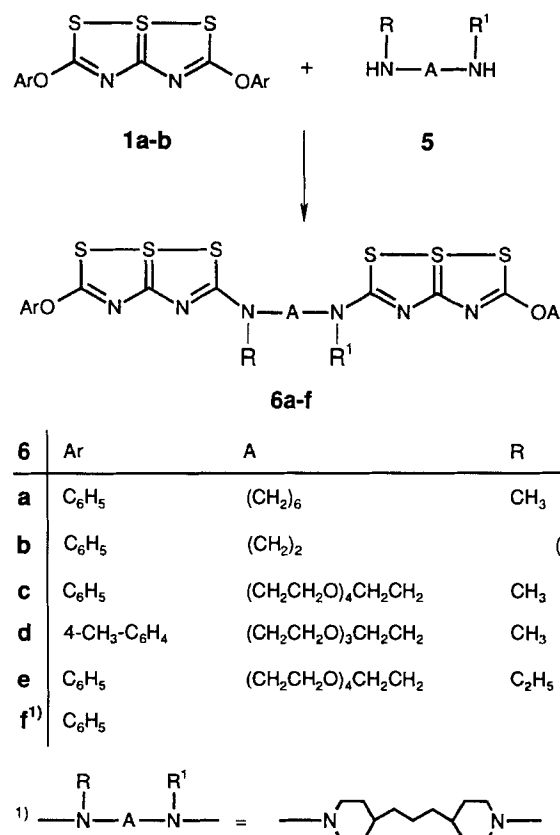


Abb. 1. Ausschnitt aus den  $^{13}C$ -NMR-Spektren der Verbindung **4a** bei 20 und 65°C,  $\delta$ -Werte

Mit den sekundären Diaminen 1,2-Bis(methylamino)-ethan oder Piperazin reagieren 2,5-Bis(aroxy)-3,3a $\lambda^4$ ,4-trithia-1,6-diazapentalene zu verbrückten Derivaten vom Typ **6**, die unlösliche, nichtschmelzende Substanzen darstellen. Das Festkörper- $^{13}C$ -NMR-Spektrum von **6b** zeigt jedoch, daß es sich um eine definierte Substanz handelt. Neben den Piperazin- und Phenoxy-Signalen erhält man für das Heteropentalen drei Signale ( $\delta = 181.3$  für C-2, 188.1 für C-6a und 195.3 für C-5). Diese Werte sind direkt mit dem entsprechenden der 2-Amino-5-aroxy-Derivate **3a–c** vergleichbar.

Die Massenspektren der Verbindungen **6** zeigen nur schwach ausgeprägte Molekülpeaks, in einigen Fällen wurde nur der Peak des Phenol-Eliminierungsproduktes beobachtet.

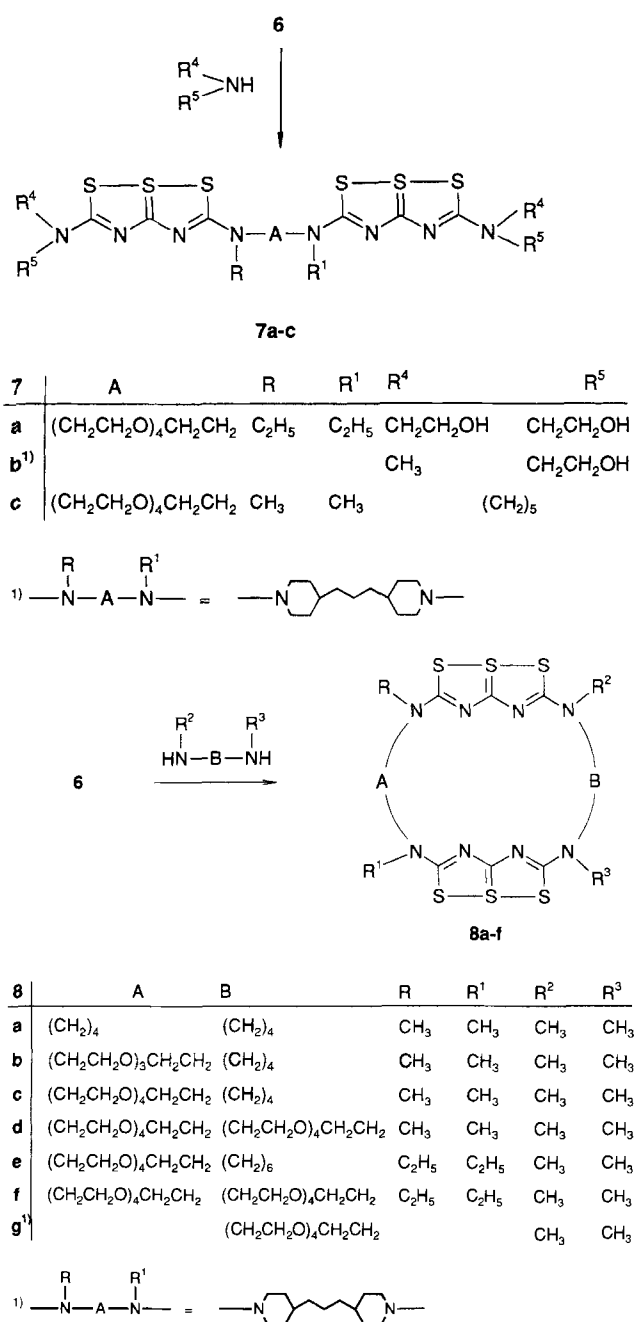


Durch Verwendung von Polyetherdiaminen, z.B. 5,8,11,14-Tetraoxa-2,17-diazaoctadecan<sup>[7]</sup> wurde eine deutliche Verbesserung der Löslichkeiten der Verbindungen **6c–e** in Chloroform erreicht, wodurch auch die säulenchromatographische Reinigung ermöglicht wurde. Die  $^{13}C$ -NMR-Signale von Lösungen dieser Verbindungen sind direkt mit den entsprechenden Signalen des Festkörper-NMR-Spektrums von **6b** vergleichbar.

Die verbrückten Thiapentalene **6** reagieren mit weiteren sekundären Aminen zu den Verbindungen **7a–c**, wobei auch diese Zweisubstitution längere Reaktionszeiten erfordert. Die  $^{13}C$ -NMR-Signale bei  $\delta \approx 181$  für C-2,5 und  $\approx 185$  sind charakteristisch für 2,5-Diaminopentalene.

Werden die Verbindungen **6** mit sekundären Diaminen in großer Verdünnung umgesetzt, entstehen die neuen Makrocyclen **8b–g**, die zwei Thiapentalen-Einheiten im Ring enthalten. Die Reaktionszeiten liegen bei Raumtemperatur zwischen 3 und 4 Wochen, die Ausbeuten bei 20%. Die Reaktionszeiten lassen sich durch höhere Reaktionstemperaturen verkürzen (z.B. siedendes Toluol), allerdings verringern sich die Ausbeuten, da teilweise Zersetzung zu beobachten ist.

Die in Chloroform gut löslichen, kristallinen Substanzen lassen sich säulenchromatographisch reinigen und eindeutig charakterisieren. Im Massenspektrum beobachtet man den berechneten Molekülpeak. Wie bei den Verbindungen **4** zei-



<sup>13</sup>C-NMR (HMDS als interner Standard): Bruker WP 200 SY und Varian Gema 300. – MS (EI, 70 eV): Spektrometer 5985B (Hewlett Packard). – Als handelsübliche Ausgangsstoffe standen 1,2-Bis(methylamino)ethan (Fluka), 1,6-Bis(methylamino)hexan (Aldrich), 2-(Methylamino)ethanol (Aldrich), 2-(Ethylamino)ethanol (Merck-Schuchardt), 2-(1-Piperazinyl)ethanol, (Merck-Schuchardt) und 4,4'-Trimethylenedipiperidin (Aldrich) zur Verfügung.

**2-(Diallylamino)-5-(4-methoxyphenyl)-3,3a<sup>4</sup>,4-trithia-1,6-diazapentalen (3a):** 406 mg (1.0 mmol) **1c**<sup>[4]</sup> werden in 10 ml Chloroform gelöst und 97 mg (1.0 mmol) Diallylamin zugegeben. Nach 2 h wird das Lösungsmittel i. Vak. abdestilliert. Der Rückstand kristallisiert beim Anreiben in Methanol; Ausb. 230 mg (61%), Schmp. 115–116°C. – <sup>13</sup>C-NMR ([D<sub>6</sub>]DMSO): δ = 53.2, 54.2 (NCH<sub>2</sub>), 55.4 (OCH<sub>3</sub>), 114.6, 122.6, 147.0, 157.3 (4 s, arom. C-3,5, C-2,6, C-4, C-1), 118.4, 118.9 (=CH<sub>2</sub>), 130.0, 131.6 (=CH), 181.5 (s, C-2), 187.9 (C-6a), 195.8 (C-5). – C<sub>16</sub>H<sub>17</sub>N<sub>3</sub>O<sub>2</sub>S<sub>3</sub> (379.5): ber. C 50.63, H 4.51, N 11.07; gef. C 50.51, H 4.38, N 11.15. – MS: Molmasse 379.

**2-(4-Aminophenyl)amino]-5-phenoxy-3,3a<sup>4</sup>,4-trithia-1,6-diazapentalen (3b):** Zu 865 mg (2.5 mmol) **1a** in 100 ml Chloroform werden 270 mg (2.5 mmol) *p*-Phenylenediamin gegeben. Der Ansatz bleibt bei Raumtemp. stehen, bis dünnschichtchromatographisch kein **1a** mehr nachweisbar ist (ca. 5 d). Es wird filtriert und das Lösungsmittel i. Vak. entfernt. Der Rückstand ist aus Ethanol umkristallierbar; Ausb. 670 mg (75%), Zers.-P. 190–192°C. – <sup>13</sup>C-NMR ([D<sub>6</sub>]DMSO): δ = 113.7, 124.5, 125.8, 148.3 (Anilin-C-3,5, C-2,6, C-4, C-1), 121.9, 126.1, 129.6, 153.5 (Phenoxy-C-2,6, C-4, C-3,5, C-1), 181.7, (C-2), 187.3 (C-6a), 195.0 (C-5). – C<sub>15</sub>H<sub>12</sub>N<sub>4</sub>OS<sub>3</sub> (360.5): ber. C 49.89, H 3.36, N 15.54; gef. C 49.93, H 3.06, N 15.86. – MS: Molmasse 360.

**2-[Ethyl(2-hydroxyethyl)amino]-5-phenoxy-3,3a<sup>4</sup>,4-trithia-1,6-diazapentalen (3c):** Darstellung wie **3a**: Aus 692 mg (2.0 mmol) **1a** und 178 mg (2.0 mmol) 2-(Ethylamino)ethanol in 10 ml Chloroform; Ausb. 550 mg (81%), Schmp. 102–103°C (Acetonitril). – <sup>1</sup>H-NMR (CDCl<sub>3</sub>): δ = 1.19 (t, 3 H, CH<sub>3</sub>), 3.12 [s (breit), 1 H, OH], 3.66 (q, 2 H, CH<sub>2</sub>CH<sub>3</sub>), 3.91 [m, 4 H, (CH<sub>2</sub>)<sub>2</sub>], 7.09–7.41 (m, 5 H, arom. H). – <sup>13</sup>C-NMR (CDCl<sub>3</sub>): δ = 11.6, 12.8 (C-CH<sub>3</sub>), 47.7, 49.2 (N-CH<sub>2</sub>CH<sub>3</sub>), 53.3, 54.4 (NCH<sub>2</sub>), 59.0, 60.6 (OCH<sub>2</sub>), 121.9, 126.6, 129.6, 153.9 (arom. C-2,6, C-4, C-3,5, C-1), 181.5 (C-2), 188.5 (C-6a), 196.4 (C-5). – C<sub>13</sub>H<sub>15</sub>N<sub>3</sub>O<sub>2</sub>S<sub>3</sub> (341.5): ber. C 45.72, H 4.43, N 12.31; gef. C 45.77, H 4.32, N 12.13.

**Synthese der 2,5-Diamino-3,3a<sup>4</sup>,4-trithia-1,6-diazapentalene 4a–e:** 748 mg (2.0 mmol) **1b** in 10 ml Chloroform werden bei Raumtemp. mit 4 mmol des entsprechenden sekundären Amins versetzt. Nach 24 h wird das Lösungsmittel i. Vak. entfernt und der Rückstand umkristallisiert.

**2,5-Bis[(2-hydroxyethyl)methylamino]-3,3a<sup>4</sup>,4-trithia-1,6-diazapentalen (4a):** Ausb. 400 mg (65%), Schmp. 140–141°C (Methanol). – <sup>1</sup>H-NMR (CDCl<sub>3</sub>): δ = 3.38 (s, 6 H, CH<sub>3</sub>), 3.79 (m, 8 H, CH<sub>2</sub>), 4.31 [s (breit), 2 H, OH]. – <sup>13</sup>C-NMR ([D<sub>6</sub>]DMSO, 25°C): δ = 40.4, 40.5 (NCH<sub>3</sub>), 53.9, 56.1 (NCH<sub>2</sub>), 57.5, 58.4 (OCH<sub>2</sub>), 181.36, 181.44, 181.89 (C-2,5), 184.62, 184.71, 184.82 (C-6a). ([D<sub>6</sub>]DMSO, 65°C): δ = 40.48, 54.28, 58.35, 182.37, 184.91. – C<sub>9</sub>H<sub>16</sub>N<sub>4</sub>O<sub>2</sub>S<sub>3</sub> (380.5): ber. C 35.05, H 5.23, N 18.16; gef. C 35.21, H 5.30, N 18.44. – MS: Molmasse 308.

**2,5-Bis[ethyl(2-hydroxyethyl)amino]-3,3a<sup>4</sup>,4-trithia-1,6-diazapentalen (4b):** Ausb. 369 mg (55%), Schmp. 126–127°C (Acetonitril). – <sup>1</sup>H-NMR (CDCl<sub>3</sub>): δ = 1.20 (t, 6 H, CH<sub>3</sub>), 3.63 (q, 4 H, CH<sub>2</sub>CH<sub>3</sub>), 3.80 (m, 8 H, CH<sub>2</sub>), 4.55 [s (breit), 2 H, OH]. – <sup>13</sup>C-NMR ([D<sub>6</sub>]DMSO): δ = 11.4, 12.6 (CH<sub>3</sub>), 45.9, 47.8 (N-CH<sub>2</sub>CH<sub>3</sub>), 51.6, 53.8 (NCH<sub>2</sub>), 57.7, 58.4 (OCH<sub>2</sub>), 181.1 (C-2,5), 184.9 (C-6a).

gen die <sup>13</sup>C-NMR-Spektren ebenfalls Signalaufspaltungen, die auf die verschiedenen Konformeren zurückzuführen sind. Das <sup>13</sup>C-NMR-Spektrum von **8c** wurde bei 30 und 120°C in Bromoform aufgenommen. Auch hier beobachtet man bei 120°C nur noch ein Signal bei δ = 184.9 (C-6a) und jeweils 182.1 und 182.2 (C-2,5). Die beiden Signale für C-2 und C-5 sind auf die unterschiedlichen Substituenten am Heteropentalen zurückzuführen. Beim Abkühlen auf 30°C wird die Aufspaltung erneut sichtbar.

Wir danken dem *Fonds der Chemischen Industrie* für die finanzielle Unterstützung der Arbeit.

## Experimenteller Teil

Schmelzpunkte (nicht korrigiert): Boetius Mikroheiztisch. – Elementaranalysen: Carlo Erba Elementaranalyzer 1106. – <sup>1</sup>H- und



liert und der Rückstand in Methanol aufgenommen. Der ausfallende Feststoff wird abfiltriert und getrocknet; Ausb. 470 mg (39%), Schmp. >360°C. –  $^{13}\text{C}$ -NMR (Festkörper):  $\delta$  = 24.5 (C–CH<sub>2</sub>), 38.8 (NCH<sub>3</sub>), 50.9 (NCH<sub>2</sub>), 182.4 (C-2,5), 185.1 (C-6a). – C<sub>18</sub>H<sub>28</sub>N<sub>8</sub>S<sub>6</sub> · 0.5 CHCl<sub>3</sub> (548.9): ber. C 36.51, H 4.72, N 18.41; gef. C 37.03, H 4.80, N 18.56. – MS: Molmasse 548.

*Synthese der Macrocyclen 8b–g:* Molare Mengen **6** werden zusammen mit den entsprechenden Diaminen in Chloroform gelöst. Die Ansätze bleiben bei Raumtemp. stehen, bis dünnenschichtchromatographisch kein Ausgangsprodukt mehr nachweisbar ist (14–28 d). Anschließend wird das Lösungsmittel i. Vak. abdestilliert und der Rückstand durch Säulenchromatographie an Kieselgel 60 (Merck) gereinigt.

*2,14,16,21-Tetramethyl-5,8,11-trioxa-1<sup>3,4</sup>, 15<sup>3,4</sup>-tetrathia-1<sup>3a</sup>, 15<sup>3a</sup>-di(λ<sup>4</sup>-thia)-1<sup>1,6</sup>, 2,14,15<sup>1,6</sup>, 16,21-octaaza-1,15(2,5)-dipentalenacyclohexicosaphan (8b):* Aus 376 mg (0.50 mmol) **6d** und 58 mg 1,4-Bis(methylamino)butan in 200 ml Chloroform, Säulenchromatographie (Eluens: Chloroform/Methanol, 20:1, v/v); Ausb. 59 mg (18%), Schmp. 204–205°C. –  $^{13}\text{C}$ -NMR (CDCl<sub>3</sub>):  $\delta$  = 24.5–24.6 (C–CH<sub>2</sub>), 38.1–41.5 (NCH<sub>3</sub>), 51.3–54.2 (NCH<sub>2</sub>), 68.0–71.2 (OCH<sub>2</sub>), 182.6–183.6 (C-2,5), 186.1–186.3 (C-6a). – C<sub>22</sub>H<sub>36</sub>N<sub>8</sub>O<sub>3</sub>S<sub>6</sub> (653.0): ber. C 40.46, H 5.56, N 17.16; gef. C 40.37, H 5.52, N 17.02. – MS: Molmasse 652.

*2,17,19,24-Tetramethyl-5,8,11,14-tetraoxa-1<sup>3,4</sup>, 18<sup>3,4</sup>-tetrathia-1<sup>3a</sup>, 18<sup>3a</sup>-di(λ<sup>4</sup>-thia)-1<sup>1,6</sup>, 2,17,18<sup>1,6</sup>, 19,24-octaaza-1,18(2,5)-dipentalenacyclotetacosaphan (8c):* Aus 522 mg (0.68 mmol) **6e** und 79 mg (0.68 mmol) 1,4-Bis(methylamino)butan in 250 ml Chloroform, Säulenchromatographie (Eluens: Chloroform/Aceton, 5:2, v/v); Ausb. 116 mg (24.5%), Schmp. 133–135°C. –  $^{13}\text{C}$ -NMR (CDBr<sub>3</sub>, 30°C):  $\delta$  = 22.0–23.7 (C–CH<sub>2</sub>), 38.0–40.9 (NCH<sub>3</sub>), 50.0–53.4 (NCH<sub>2</sub>), 67.5–69.7 (OCH<sub>2</sub>), 179.9–181.4 (C-2,5), 183.3–184.0 (C-6a); (CDBr<sub>3</sub>, 120°C):  $\delta$  = 23.8 (C–CH<sub>3</sub>), 38.6, 40.0 (NCH<sub>3</sub>), 51.6, 52.3 (NCH<sub>2</sub>), 68.0, 69.9 (OCH<sub>2</sub>), 182.1, 182.2 (C-2,5), 184.9 (C-6a). – C<sub>24</sub>H<sub>40</sub>N<sub>8</sub>O<sub>4</sub>S<sub>6</sub> (697.0): ber. C 41.36, H 5.78, N 16.08; gef. C 41.10, H 5.78, N 15.84. – MS: Molmasse 696.

*2,17,19,34-Tetramethyl-5,8,11,14,22,25,28,31-octaaza-1<sup>3,4</sup>, 18<sup>3,4</sup>-tetrathia-1<sup>3a</sup>, 18<sup>3a</sup>-di(λ<sup>4</sup>-thia)-1<sup>1,6</sup>, 2,17,18<sup>1,6</sup>, 19,34-octaaza-1,18(2,5)-dipentalenacyclotetracontaphan (8d):* Aus 499 mg (0.65 mmol) **6c** und 172 mg (0.65 mmol) 5,8,11,14-Tetraoxa-2,17-diazaoctadecan in 250 ml Chloroform, Säulenchromatographie (Eluens: Chloroform/Aceton, 1:1, v/v); Ausb. 80 mg (16%), Schmp. 159°C. –  $^{13}\text{C}$ -NMR (CDCl<sub>3</sub>):  $\delta$  = 39.9, 41.1 (NCH<sub>3</sub>), 51.9, 54.0 (NCH<sub>2</sub>), 66.5, 70.8 (OCH<sub>2</sub>), 182.6, 182.8, 183.0 (C-2,5), 186.2, 186.5, 186.7 (C-6a). – C<sub>30</sub>H<sub>52</sub>N<sub>8</sub>O<sub>8</sub>S<sub>6</sub> (845.1): ber. C 42.63, H 6.20, N 13.26; gef. C 42.73, H 6.28, N 13.17. – MS: Molmasse 844.

*2,17-Diethyl-19,26-dimethyl-5,8,11,14-tetraoxa-1<sup>3,4</sup>, 18<sup>3,4</sup>-tetrathia-1<sup>3a</sup>, 18<sup>3a</sup>-di(λ<sup>4</sup>-thia)-1<sup>1,6</sup>, 2,17,18<sup>1,6</sup>, 19,26-octaaza-1,18(2,5)-dipentalenacyclohexacosaphan (8e):* Aus 365 mg (0.474 mmol) **6e** und 68.5 mg (0.474 mmol) 1,6-Bis(methylamino)hexan in 250 ml Chloroform, Säulenchromatographie (Eluens: Chloroform/Aceton, 10:1, v/v); Ausb. 78 mg (22%), Öl. –  $^{13}\text{C}$ -NMR (CDCl<sub>3</sub>):  $\delta$  = 11.8, 12.9 (C–CH<sub>3</sub>), 25.8–27.5 (CH<sub>2</sub>CH<sub>2</sub>), 38.2–39.8 (NCH<sub>3</sub>), 47.0–50.0 (N–CH<sub>2</sub>CH<sub>3</sub>), 51.7–54.3 (NCH<sub>2</sub>), 68.2–70.7 (OCH<sub>2</sub>), 181.9–182.6 (C-2,5), 186.2–186.3 (C-6a). – C<sub>28</sub>H<sub>48</sub>N<sub>8</sub>O<sub>4</sub>S<sub>6</sub> (753.2): ber. C 44.65, H 6.42, N 14.86; gef. C 44.80, H 6.31, N 14.63. – MS: Molmasse 752.

*2,17-Diethyl-19,34-dimethyl-5,8,11,14,22,25,28,31-octaaza-1<sup>3,4</sup>, 18<sup>3,4</sup>-tetrathia-1<sup>3a</sup>, 18<sup>3a</sup>-di(λ<sup>4</sup>-thia)-1<sup>1,6</sup>, 2,17,18<sup>1,6</sup>, 19,34-octaaza-1,18(2,5)-dipentalenacyclotetracontaphan (8f):* Aus 682 mg (0.887 mmol) **6e** und 260 mg (0.887 mmol) 5,8,11,14-Tetraoxa-2,17-diazaoctadecan in 250 ml Chloroform, Säulenchromatographie (Eluens: Chloroform/Methanol, 30:1, v/v); Ausb. 51 mg (6.6%), Öl. –  $^{13}\text{C}$ -NMR (CDCl<sub>3</sub>): 11.8, 13.0 (C–CH<sub>3</sub>), 39.8, 41.0 (NCH<sub>3</sub>), 46.7–49.6 (N–CH<sub>2</sub>CH<sub>3</sub>), 51.6–54.0 (NCH<sub>2</sub>), 68.5–70.6 (OCH<sub>2</sub>), 181.9–183.0 (C-2,5), 186.2 (C-6a). – C<sub>32</sub>H<sub>56</sub>N<sub>8</sub>O<sub>8</sub>S<sub>6</sub> (873.3): ber. C 44.01, H 6.46, N 12.83; gef. C 43.88, H 6.25, N 12.70. – MS: Molmasse 872.

*8,23-Dimethyl-11,14,17,20-tetraoxa-1<sup>3,4</sup>, 7<sup>3,4</sup>-tetrathia-1<sup>3a</sup>, 7<sup>3a</sup>-di(λ<sup>4</sup>-thia)-1<sup>1,6</sup>, 7<sup>1,6</sup>, 8,23-hexaaza-1,7(2,5)-dipentalena-2(1,4), 6(4,1)-dipiperidinacyclotricosaphan (8g):* Aus 357 mg (0.50 mmol) **6f** und 132 mg (0.50 mmol) 5,8,11,14-Tetraoxa-2,17-diazaoctadecan in 150 ml Chloroform, Säulenchromatographie (Eluens: Chloroform/Aceton, 5:1, v/v); Ausb. 47 mg (12%), Öl. –  $^{13}\text{C}$ -NMR (CDCl<sub>3</sub>):  $\delta$  = 21.4, 30.5, 32.1, 32.7, 35.1, 35.7, 36.2, 48.0, 50.6 (Dipiperidin), 40.3, 40.9 (NCH<sub>3</sub>), 51.8, 54.3 (NCH<sub>2</sub>), 68.4, 69.2, 70.2, 70.6 (OCH<sub>2</sub>), 181.3, 183.1 (C-2,5), 186.9 (C-6a). – C<sub>31</sub>H<sub>50</sub>N<sub>8</sub>O<sub>4</sub>S<sub>6</sub> (791.2): ber. C 47.06, H 6.37, N 14.16; gef. C 47.43, H 5.94, N 13.99. – MS: Molmasse 790.

[<sup>1</sup>] N. Lozac'h, *Adv. Heterocycl. Chem.* **1971**, *13*, 161–274.

[<sup>2</sup>] C. T. Pedersen, *Sulfur Reports* **1980**, *1*, 54–77.

[<sup>3</sup>] N. Lozac'h, *Compr. Heterocycl. Chem.* **1984**, *6*, 1049–1062.

[<sup>4</sup>] H. Graubaum, H. Seboth, P. Zalupsky, *Monatsh. Chem.* **1989**, *120*, 997–1002.

[<sup>5</sup>] H. Graubaum, G. Lutze, M. Ramm, *Phosphorus, Sulfur, Silicon Relat. Elem.* **1993**, *84*, 83–93.

[<sup>6</sup>] H. Graubaum, G. Lutze, M. Ramm, *Phosphorus, Sulfur, Silicon Relat. Elem.*, in Vorbereitung.

[<sup>7</sup>] W. Kern, S. Iwabuchi, H. Sato, V. Böhmer, *Makromol. Chem.* **1979**, *180*, 2539–2542.